

В.Э. Адлер · Классические интегрируемые системы

Лекция 5 · 6 марта 2023

## Конечнозонные решения КdФ

# План лекции

- Стационарные уравнения для высших симметрий (уравнения Новикова)
- Общее решение в виде бегущей волны (кноидальная волна)
- Эллиптические функции
- Численное построение двухфазного решения
- Произвольное  $n$ : понижение порядка, уравнения Дубровина
- Интегрирование в квадратурах

# Уравнения Новикова

На прошлой лекции было показано, что уравнение КdФ

$$u_t = u_{xxx} - 6uu_x \quad (1)$$

допускает бесконечную последовательность коммутативных и локальных симметрий ( $u_n = \partial_x^n(u)$ ,  $D = D_x$ ). Они строятся при помощи оператора рекурсии:

$$u_{t_n} = g_n = R^{n-1}(u_x), \quad R = D^2 - 4u - 2u_x D^{-1}, \quad n = 1, 2, \dots.$$

Первые несколько симметрий:

$$u_{t_1} = u_1, \quad (\text{сдвиг по } x)$$

$$u_{t_2} = u_3 - 6uu_1, \quad (\text{сдвиг по } t)$$

$$u_{t_3} = D(u_4 - 10uu_2 - 5u_1^2 + 10u^3),$$

$$u_{t_4} = D(u_6 - 14uu_4 - 28u_1u_3 - 21u_2^2 + 70u^2u_2 + 70uu_1^2 - 35u^4),$$

...

и так далее.

Симметрией является произвольная линейная комбинации конечного числа этих потоков. Наша цель сегодня — исследовать стационарное уравнение для такой симметрии, то есть, ОДУ порядка  $2n + 1$  вида

$$G = g_{n+1} + c_1 g_n + \cdots + c_n g_1 = 0, \quad (2)$$

что впервые было сделано в статье

- С.П. Новиков. Периодическая задача для уравнения Кортевега–де Фриза. *Функции, анализ и его прил.*, **8:3** (1974) 54–66.

Согласно определению симметрии, (2) определяет связь, совместную с динамикой по  $t$  в силу КдФ, так как выполняется тождество

$$D_t(G) = (D^3 - 6uD - 6u_1)(G) = 0.$$

Уравнение (2) допускает понижение порядка. Прежде всего, так как все  $g_j$  — полные производные по  $x$ , то оно сводится к уравнению порядка  $2n$

$$A = a_{n+1} + c_1 a_n + \cdots + c_n a_1 + c_{n+1} = 0, \quad g_j = D(a_j). \quad (3)$$

Совместность с динамикой по  $t$  не нарушается, при условии, что постоянная интегрирования  $c_{n+1}$  не зависит от  $t$ : можно проверить, что

$$D_t(A) = (D^3 - 6uD)(A) = 0.$$

- Уравнение (2) можно записать в виде

$$u_{t_{n+1}} + c_1 u_{t_n} + \cdots + c_n u_{t_1} = 0$$

— это линейное УЧП первого порядка, общее решение которого (по методу характеристик) представимо в виде

$$u = F(c_1 t_{n+1} - t_n, c_2 t_{n+1} - t_{n-1}, \dots, c_n t_{n+1} - t_1),$$

то есть,  $u$  — функция от  $n$  линейных «фаз». Поэтому, решения уравнения Новикова иногда называют  **$n$ -фазными**. Конечно, этот «ответ» ещё необходимо уточнять (что такое  $t_j$  и чему равна  $F$ ).

- Другое название —  **$n$ -зонные** решения, будет объяснено чуть позже.
- Уравнение (3) допускает дальнейшее понижение порядка. Наша цель — показать, что порядок понижается до  $n$  за счёт алгебраических первых интегралов, а затем можно ввести  $n - 1$  дополнительных первых интегралов при помощи квадратур.
- В результате, решение уравнения (3) сводится к квадратурам и обращению неявных функций. Этот последний этап довольно сложен и мы его пропустим. Конструктивно, он осуществляется при помощи тэта-функций от многих переменных.

**Замечание 1.** Неавтономные (и нелокальные, при  $n > 2$ ) симметрии КдФ

$$u_{\tau_n} = h_n = R^{n-1}(6tu_x - 1), \quad n = 1, 2, \dots$$

приводят к еще более общим и сложным связям, совместным с КдФ: вместо (2) получаются так называемые *струнные* уравнения

$$c_0g_{n+1} + c_1g_n + \cdots + c_ng_1 + h_{m+1} + C_1h_m + \cdots + C_mh_1 = 0.$$

У этих уравнений есть некоторые хорошие алгебраические и аналитические свойства (свойство Пенлеве, то есть, решения не имеют подвижных существенно особых точек). Но, в квадратурах они не интегрируются даже при  $m = 0$ , то есть, если добавлен лишь один простейший член  $h_1 = 6tu_x - 1$ . Сейчас мы их рассматривать не будем.

# 1-зонное решение

При  $n = 1$  имеем уравнение

$$u_{xxx} - 6uu_x + cu_x = 0 \quad \Leftrightarrow \quad u_t + cu_x = 0.$$

Очевидно, это решения в виде бегущей волны  $u(x, t) = u(x - ct)$  — тот пример, с которого мы начали первую лекцию. Тогда мы требовали, чтобы решение было быстроубывающим, что фиксировало нулевые значения первых интегралов. Теперь проанализируем, что будет, если этого не делать. Двукратное интегрирование даёт:

$$u_{xxx} = 6uu_x - cu_x \quad \Rightarrow$$

$$u_{xx} = 3u^2 - cu + c_1/2 \quad \Rightarrow \quad (\text{интегрирующий множитель } 2u_x)$$

$$u_x^2 = 2u^3 - cu^2 + c_1u + c_2 = P(u).$$

Механическая интерпретация — движение частицы в поле с кубическим потенциалом ( $u$  — координата,  $x$  — время,  $c_2$  — энергия), см. напр.

- Л.Д. Ландау, Е.М. Лифшиц. Теоретическая физика. Т.1, Механика (§11). М.: Наука, 1988.

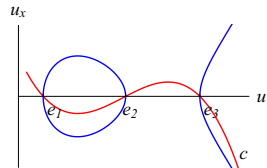
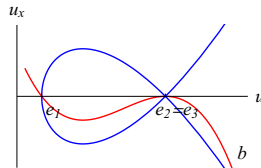
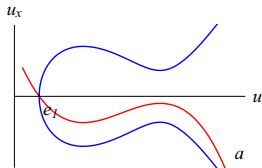
Функция  $u$  находится в неявном виде при помощи квадратуры:

$$\int \frac{du}{\sqrt{P(u)}} = x - ct + \delta.$$

Это неполный эллиптический интеграл. Если корни  $P$  различны, то он не берётся в элементарных функциях.

Тем не менее, легко понять, как нужно выбирать константы и начальное условие, чтобы решение было ограниченным на вещественной оси.

Нарисуем в фазовой плоскости  $(u, u_x)$  кривую  $u_x^2 = P(u)$  (синяя) и график многочлена  $-\frac{1}{2}P(u)$  (красный) — это потенциал (энергия фиксирована и включена в  $P$ , частица находится на нулевом уровне). В зависимости от расположения корней  $P$  возможны три случая (точнее, пять, так как овал и петля могут вырождаться в точку).



Возможны три типа движения (не считая стационарных решений  $u_x = 0$ ).

- Движение по овалу — частица в потенциальной яме, ограниченное периодическое движение.
- Неограниченные ветви на рис. *a* и *c* — частица за конечное время уходит на бесконечность (полюсные решения).
- Петля на рис. *b* получается, если край ямы находится точно на нулевом уровне энергии. Ей отвечает сепаратрисное решение — предельный случай периодического движения с бесконечно большим периодом. Это и есть солитон.

# Эллиптические функции

Уравнение для  $u$  совпадает с точностью до линейной замены, с уравнением для функции Вейерштрасса  $\wp(z; g_2, g_3)$

$$(\wp')^2 = 4\wp^3 - g_2\wp - g_3,$$

но, так как эта функция имеет полюс в нуле, то удобнее выразить ответ через эллиптические функции Якоби. Произвольная эллиптическая функция представляется как рациональная функция от  $\wp$ ,  $\wp'$ .

Общее определение эллиптических функций — это аналитические функции  $f(z)$  такие, что  $f(z + e_1) = f(z + e_2) = f(z)$ ,  $e_1, e_2 \in \mathbb{C}$ .

- Н.И. Ахиезер. Элементы теории эллиптических функций. М.: Наука, 1970.
- А.И. Маркушевич. Замечательные синусы. М.: Наука, 1974.

Класс уравнений

$$(y')^2 = P(y), \quad \deg P \leq 4 \tag{4}$$

сохраняется придробно-линейных заменах  $Y = \frac{\alpha y + \beta}{\gamma y + \delta}$ :

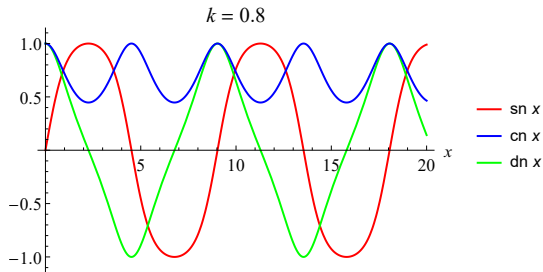
$$(Y')^2 = Q(Y), \quad P(y) = \frac{(\gamma y + \delta)^4}{(\alpha\delta - \beta\gamma)^2} Q\left(\frac{\alpha y + \beta}{\gamma y + \delta}\right).$$

## Функции Якоби

Это решения системы ОДУ с начальными условиями

$$(\operatorname{sn} x)' = \operatorname{dn} x \operatorname{cn} x, \quad (\operatorname{cn} x)' = -\operatorname{dn} x \operatorname{sn} x, \quad (\operatorname{dn} x)' = -k^2 \operatorname{sn} x \operatorname{cn} x,$$
$$\operatorname{sn} 0 = 0, \quad \operatorname{cn} 0 = 1, \quad \operatorname{dn} 0 = 1.$$

Параметр  $k$  принимает значения  $0 \leq k \leq 1$ .



Первые интегралы:

$$\operatorname{sn}^2 x + \operatorname{cn}^2 x = 1, \quad k^2 \operatorname{sn}^2 x + \operatorname{dn}^2 x = 1.$$

Отсюда следует

$$(\operatorname{cn}')^2 = \operatorname{dn}^2 \operatorname{sn}^2 = (\operatorname{cn}^2 - 1)(k^2 \operatorname{cn}^2 - 1),$$

— уравнение вида (4) и аналогично для  $\operatorname{sn}$ ,  $\operatorname{dn}$ . Поэтому эти функции дробно-линейно связаны с  $\wp$ .

Есть и другие преобразования. Нетрудно проверить, что если

$$u = K_1 + K_2 \operatorname{cn}^2(bx; k),$$

то  $u_x^2$  будет равно многочлену третьей степени от  $\operatorname{sn}^2$ , то есть, от самого  $u$ .

Подставляя в уравнение  $u_x^2 = P(u) = 2u^3 - cu^2 + c_1 u + c_2$  и сравнивая коэффициенты при  $u^3$  и  $u^2$ , выражаем  $K_1$ ,  $K_2$  через  $b$ ,  $c$  и  $k$ :

$$u(x, t) = \frac{4b^2(2k - 1) + c}{6} - 2b^2 k \operatorname{cn}^2(b(x - ct) + d; k).$$

Это так называемая **кноудальная** волна.

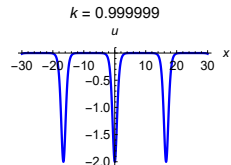
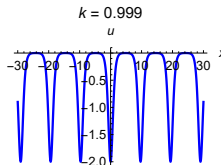
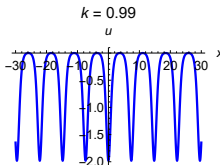
Коэффициенты  $c_1$  и  $c_2$  также выражаются через  $b$ , и эти формулы особо не нужны.

За счёт растяжения можно положить  $b = 1$ . Преобразование Галилея позволяет уничтожить свободный член (что отвечает  $c = 4 - 8k$ ), тогда график будет касаться оси  $x$ . Наконец,  $d$  уничтожается сдвигом  $x$  или  $t$  и остаётся лишь один существенный параметр  $k$ :

$$u = -2k \operatorname{cn}^2(x + 8kt; k).$$

В пределе  $k \rightarrow 0$  функции Якоби переходят в обычную тригонометрию, но при этом амплитуда  $u$  стремится к 0.

Предел  $k \rightarrow 1$  отвечает солитону. Пички в кноидальной волне разъезжаются друг от друга и в пределе остается солитонное решение.



## Пример численного решения при $n = 2$

Уравнение (3) эквивалентно  $2n$ -мерной динамической системе по  $x$ , относительно переменных  $u, u_1, \dots, u_{2n-1}$ . Само уравнение КдФ тоже можно переписать как динамическую систему по  $t$  для этих переменных. Эти системы совместны, то есть, соответствующие векторные поля коммутируют. При  $n = 2$  имеем:

$$\begin{cases} u_x = u_1, \\ u_{1,x} = u_2, \\ u_{2,x} = u_3, \\ u_{3,x} = 10uu_2 + 5u_1^2 - 10u^3 - c_1(u_2 - 3u^2) - c_2u - c_3, \end{cases} \quad (5)$$

$$\begin{cases} u_t = u_3 - 6uu_1, \\ u_{1,t} = (4u - c_1)u_2 - u_1^2 - 10u^3 + 3c_1u^2 - c_2u - c_3, \\ u_{2,t} = (4u - c_1)u_3 + 2u_1u_2 - (30u^2 - 6c_1u + c_2)u_1, \\ u_{3,t} = 6u_1u_3 + 2u_2^2 + (10u^2 - 8c_1u - c_2 + c_1^2)u_2 - (40u - c_1)u_1^2 \\ \quad - 40u^4 + 22c_1u^3 - (4c_2 + 3c_1^2)u^2 + (c_1c_2 - 4c_3)u + c_1c_3. \end{cases} \quad (6)$$

Зададим параметры и начальные условия  $u$ ,  $u_1$ ,  $u_2$ ,  $u_3$  при  $(x, t) = (0, 0)$ .

Решим численно задачу Коши для системы (5) по  $x$  до некоторого  $x_1$ .

Полученное решение в точках  $x + j\Delta x$  используем в качестве начальных условий для системы (6) по  $t$  до некоторого  $t_1$ .

Получим набор кривых, представляющих сечения графика решения, параллельные оси  $t$ . Шаг  $\Delta x$  влияет не на точность вычисления, а лишь на то, насколько плотно расположены кривые.

Меняя ролями  $x$  и  $t$ ,

получим сечения,

параллельные оси  $x$ .

Коммутативность

гарантирует, что оба набора

кривых пересекаются в

точках сетки, так что

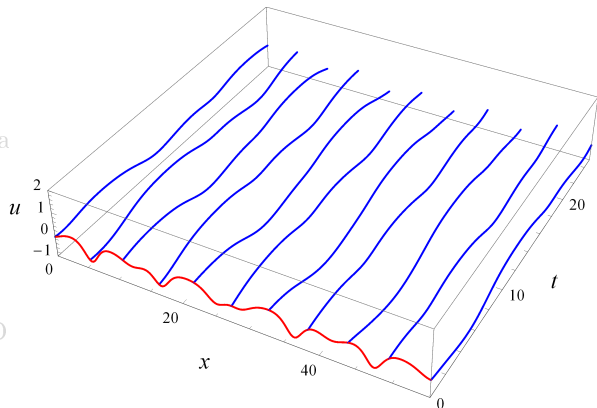
получается некоторая

поверхность. Если взять

шаги достаточно

маленькими, получается 3D

график решения.



Зададим параметры и начальные условия  $u$ ,  $u_1$ ,  $u_2$ ,  $u_3$  при  $(x, t) = (0, 0)$ .

Решим численно задачу Коши для системы (5) по  $x$  до некоторого  $x_1$ .

Полученное решение в точках  $x + j\Delta x$  используем в качестве начальных условий для системы (6) по  $t$  до некоторого  $t_1$ .

Получим набор кривых, представляющих сечения графика решения, параллельные оси  $t$ . Шаг  $\Delta x$  влияет не на точность вычисления, а лишь на то, насколько плотно расположены кривые.

Меняя ролями  $x$  и  $t$ ,

получим сечения,

параллельные оси  $x$ .

Коммутативность

гарантирует, что оба набора

кривых пересекаются в

точках сетки, так что

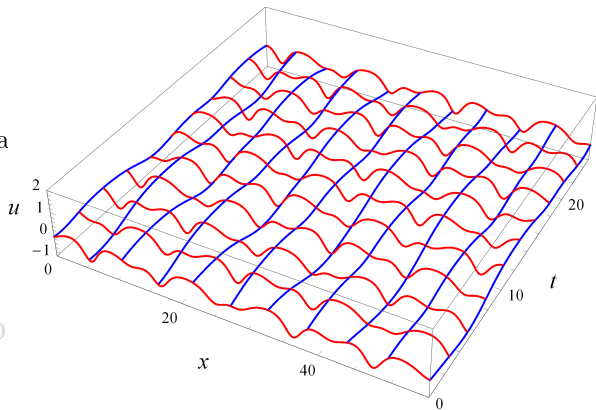
получается некоторая

поверхность. Если взять

шаги достаточно

маленькими, получается 3D

график решения.



Зададим параметры и начальные условия  $u$ ,  $u_1$ ,  $u_2$ ,  $u_3$  при  $(x, t) = (0, 0)$ .

Решим численно задачу Коши для системы (5) по  $x$  до некоторого  $x_1$ .

Полученное решение в точках  $x + j\Delta x$  используем в качестве начальных условий для системы (6) по  $t$  до некоторого  $t_1$ .

Получим набор кривых, представляющих сечения графика решения, параллельные оси  $t$ . Шаг  $\Delta x$  влияет не на точность вычисления, а лишь на то, насколько плотно расположены кривые.

Меняя ролями  $x$  и  $t$ ,

получим сечения,

параллельные оси  $x$ .

Коммутативность

гарантирует, что оба набора

кривых пересекаются в

точках сетки, так что

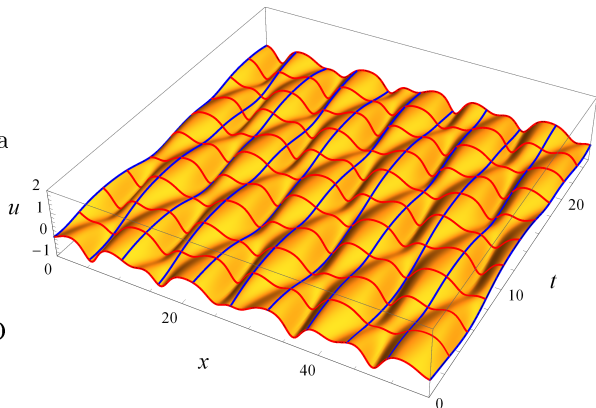
получается некоторая

поверхность. Если взять

шаги достаточно

маленькими, получается 3D

график решения.



Зададим параметры и начальные условия  $u$ ,  $u_1$ ,  $u_2$ ,  $u_3$  при  $(x, t) = (0, 0)$ .

Решим численно задачу Коши для системы (5) по  $x$  до некоторого  $x_1$ .

Полученное решение в точках  $x + j\Delta x$  используем в качестве начальных условий для системы (6) по  $t$  до некоторого  $t_1$ .

Получим набор кривых, представляющих сечения графика решения, параллельные оси  $t$ . Шаг  $\Delta x$  влияет не на точность вычисления, а лишь на то, насколько плотно расположены кривые.

Меняя ролями  $x$  и  $t$ ,

получим сечения,

параллельные оси  $x$ .

Коммутативность

гарантирует, что оба набора

кривых пересекаются в

точках сетки, так что

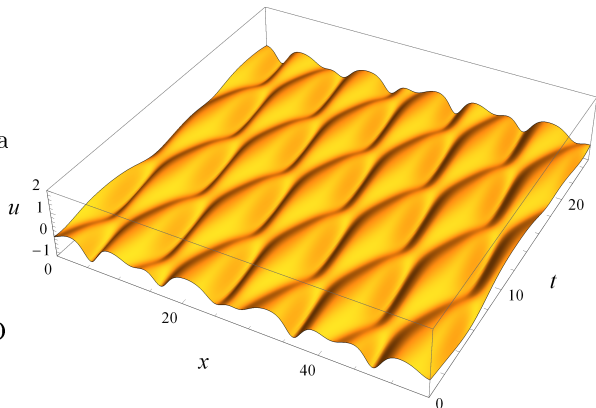
получается некоторая

поверхность. Если взять

шаги достаточно

маленькими, получается 3D

график решения.



Как и в однозонном случае, важное значение имеет выбор параметров и начальных условий. Если выбрать неудачно, то решение будет иметь полюсы: при численном счёте решение станет неограниченно расти и произойдёт ошибка.

С другой стороны, если выбрать *очень* удачно, то можно получить и двухсолитонные решения — как и предыдущем примере, они являются специальными сепаратрисными решениями.

# Случай произвольного $n$

Ясно, что в переменных  $u_j$  работать трудно. Необходимо выбрать некоторые новые координаты, что было сделано в статье

- Б.А. Дубровин. Периодическая задача для уравнения Кортевега–де Фриза в классе конечнозонных потенциалов. *Функци. анализ* **9:3** (1975) 41–51.

Сначала выпишем уравнения для некоторых многочленов от  $\lambda$ . Докажем следующее утверждение.

**Утверждение 1.** Уравнение Новикова (3) эквивалентно уравнению

$$-4\lambda Q^2 = 2QQ_{xx} - Q_x^2 - 4uQ^2 + P, \quad (7)$$

с полиномиальными  $Q(\lambda)$  и  $P(\lambda) = \text{const}$ ,

$$\begin{aligned} Q &= (-4\lambda)^n + q_1(x, t)(-4\lambda)^{n-1} + \cdots + q_n(x, t), \\ P &= (-4\lambda)^{2n+1} + \gamma_1(-4\lambda)^{2n} + \cdots + \gamma_{2n+1}. \end{aligned}$$

**Доказательство.** Напомним, что величины  $a_j$  из (3) служат коэффициентами производящей функции

$$A = -a_0 - a_1/(-4\lambda) - \cdots - a_n/(-4\lambda)^n - \dots, \quad a_0 = -1/2,$$

удовлетворяющей уравнению

$$-4\lambda A_x = A_{xxx} - 4uA_x - 2u_x A. \quad (8)$$

Уравнение Новикова (3)

$$A = a_{n+1} + \cdots + c_n a_1 + c_{n+1} a_0 = 0$$

означает, что существует ряд с постоянными коэффициентами

$$C = (-4\lambda)^n (1 + c_1/(-4\lambda) + c_2/(-4\lambda)^2 + \dots),$$

такой, что  $Q = CA$  — многочлен. Он также удовлетворяет (8):

$$-4\lambda Q_x = Q_{xxx} - 4uQ_x - 2u_x Q.$$

Это уравнение один раз интегрируется, после умножения на  $2Q$  (мы уже использовали это для доказательства локальности  $a_j$ ), что и дает (7) с постоянной интегрирования  $P$ . Так как  $A$  — многочлен, то и  $P$  — многочлен, причём уравнение (7) по прежнему совместно с КдФ, если  $P$  не зависит от  $t$ .



**Замечание 2.** При построении  $n$ -солитонных решений (потенциалов Баргманна) мы требовали существования решения уравнения Шредингера

$$\psi_{xx} = (u - \lambda)\psi$$

полиномиального по  $z = \sqrt{-\lambda}$ , с точностью до множителя  $e^{zx+4z^3t}$  (условие обрыва функции Бейкера–Ахиезера).

Легко проверить (ДЗ): произведение любых двух  $\psi$ -функций  $q = \psi\tilde{\psi}$  и их вронскиан  $w = \psi\tilde{\psi}_x - \psi_x\tilde{\psi}$  удовлетворяют уравнению (7)

$$2qq_{xx} - q_x^2 + 4(\lambda - u)q^2 + w^2 = 0, \quad w_x = 0.$$

В качестве  $Q$  можно взять  $Q = \psi(z)\psi(-z)$ . Если  $\psi$  — оборванный ряд по  $z$ , то  $Q$  — многочлен по  $\lambda$ . Следовательно,  $n$ -солитонные решения удовлетворяют уравнению Новикова (7).

Обратное неверно — не все решения (7) являются  $n$ -солитонными. Это лишь подкласс специальных, сепаратрисных решений, выделенных условием быстроубывания. Для общего конечнозонного решения условие полиномиальности  $\psi$ -функций не выполняется.

**Замечание 3.** Есть и более универсальное доказательство, годящееся и для других уравнений. Для стационарного уравнения представление нулевой кривизны превращается в уравнение Лакса:

$$U_\tau = V_x + [V, U] \quad \rightarrow \quad V_x = [U, V].$$

По тождеству Лиувилля, отсюда следует (см. предыдущую лекцию)

$$\det V = \text{const}.$$

Это и есть соотношение (7), при

$$V = \begin{pmatrix} -Q_x & 2Q \\ -Q_{xx} + 2Q(u - \lambda) & Q_x \end{pmatrix}.$$

Выражение  $Q$  через  $\psi$ -функции тоже обобщается: решение уравнения  $V_x = [U, V]$  имеет вид  $V = \Psi C \Psi^{-1}$ , где  $\Psi$  — фундаментальная матрица системы  $\Psi_x = U\Psi$  и  $C = \text{const}$ .

# Уравнения Дубровина

Нужная замена переменных — переход к нулям многочленов  $Q, P$ . Пусть

$$Q(\lambda) = (-4\lambda - y_1) \cdots (-4\lambda - y_n),$$
$$P(\lambda) = (-4\lambda - e_1) \cdots (-4\lambda - e_{2n+1}).$$

Положим в (7)  $-4\lambda = y_j$ . Слагаемые с  $Q^2$  и  $QQ_{xx}$  исчезнут и останется

$$Q_x^2|_{-4\lambda=y_j} = P(y_j), \quad j = 1, \dots, n.$$

Так как

$$Q_x|_{-4\lambda=y_j} = -y_{j,x} \prod_{i \neq j} (y_j - y_i),$$

то получается система ОДУ на переменные  $y_j$  — уравнения Дубровина

$$\frac{y_{j,x}}{\sqrt{P(y_j)}} = \frac{1}{\prod_{i \neq j} (y_j - y_i)}, \quad j = 1, \dots, n, \tag{9}$$

Фактически, понижение порядка происходит при переходе от уравнения Новикова (3) к проинтегрированному уравнению (7).

Исходное уравнение (3) имело порядок  $2n$  и содержало  $n + 1$  постоянную  $c_1, \dots, c_{n+1}$ . Мы свели её к системе порядка  $n$ , содержащей  $2n + 1$  постоянную  $e_1, \dots, e_{2n+1}$ . При замене ничего не потерялось.

Потенциал  $u$  восстанавливается по  $e_j, y_j$  согласно формуле

$$4u = -e_1 - \cdots - e_{2n+1} - 2y_1 - \cdots - 2y_n, \quad (10)$$

что следует прямо из (7).

Кроме системы (9) по  $x = t_1$ , можно выписать системы, определяющие динамику по другим временам. Если  $\partial_{t_k}$  отвечает многочлену  $A^{(k)} = a_0(-4\lambda)^k + \cdots + a_k$  в линейной задаче, то  $Q$  удовлетворяет уравнению

$$Q_{t_k} = 2(A^{(k)}Q_x - A_x^{(k)}Q). \quad (11)$$

Подставляя  $-4\lambda = y_j$ , получаем  $Q_{t_k}|_{-4\lambda=y_j} = 2A^{(k)}Q_x|_{-4\lambda=y_j}$ , то есть

$$\frac{y_{j,t_k}}{\sqrt{P(y_j)}} = \frac{2A^{(k)}(y_j)}{\prod_{i \neq j} (y_j - y_i)}, \quad j = 1, \dots, n.$$

Так как  $Q = CA$ , то  $A^{(k)}$  — это линейные комбинации  $q_i$ . В свою очередь, все  $q_i$  выражаются через симметрические многочлены от корней  $y_j$ , что даёт замкнутую систему.

В частности, дифференцированию  $\partial_t$  в силу КдФ отвечает  $A^{(2)} = -2\lambda - u$ , поэтому

$$\frac{y_{j,t}}{\sqrt{P(y_j)}} = \frac{y_j - 2u}{\prod_{i \neq j} (y_j - y_i)}, \quad j = 1, \dots, n \tag{12}$$

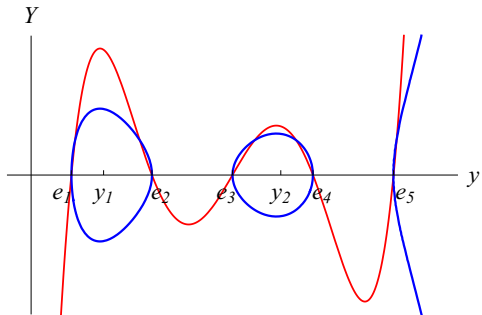
(где  $u$  задано формулой (10)).

# Качественное поведение решения

Будем предполагать, что все корни  $e_k$  различны и вещественны. Пусть

$$e_1 < e_2 < \dots < e_{2n+1}.$$

Чтобы решение системы было вещественным, нужно, чтобы все переменные  $y_j$  лежали в тех интервалах, где  $P(y) \geq 0$ , то есть,  $[e_{2k-1}, e_{2k}]$ ,  $k = 1, \dots, n$ , или  $[e_{2n+1}, \infty)$ .



Синяя линия — кривая  $Y^2 = P(y)$ , красная — сам многочлен  $Y = P(y)$ .

Если начальные условия для  $y_i$  и  $y_j$  попадут в один интервал, в решении возникнет особенность из-за знаменателя  $y_i - y_j$  в правой части (9).

Также, решение будет неограниченным, если какая-то переменная лежит в интервале  $[e_{2n+1}, \infty)$ . Таким образом, для вещественности и ограниченности решения следует задавать начальные условия для  $y_j$  так:

$$e_1 \leq y_1 \leq e_2 < e_3 \leq y_2 \leq e_4 < \cdots < e_{2n-1} \leq y_n \leq e_{2n} < e_{2n+1}.$$

В этом случае переменные  $y_j$  отделены друг от друга и никаких особенностей в системе (9) возникнуть не может.

Переменные  $y_j$  крутятся каждая в своем овале, поэтому из формулы (10) ясно, что решение представляет собой ограниченную, квазипериодическую функцию по  $x$  и  $t$ .

Случай, когда все пары корней  $e_{2k}$  и  $e_{2k+1}$  сливаются, отвечает  $n$ -солитонному вырождению (конечно, возможны случаи, когда сливаются не все пары, тогда получается солитонное решение на конечнозонном фоне).

**Замечание 4.** Возвращаясь к  $\psi$ -функциям, можно доказать, что они строятся по формуле

$$\psi(x, \lambda) = Q^{1/2} \exp \left( \pm \sqrt{P(\lambda)} \int_{x_0}^x \frac{ds}{Q} \right). \quad (13)$$

Рассмотрим последовательность интервалов, на которых  $P$  меняет знак.

При тех  $\lambda$ , для которых  $P(\lambda) < 0$  имеем экспоненту с мнимым показателем и регулярным подынтегральным выражением (поскольку нули  $A$  лежат там, где  $P \geq 0$ ). Следовательно, для таких  $\lambda$  существует пара ограниченных, осциллирующих  $\psi$ -функций. Такие интервалы, следовательно, относятся к непрерывному спектру, они называются *разрешенными (стабильными) зонами*.

Дополнительные интервалы (в которых лежат нули  $y_j$ ) называются *запрещенными зонами*, отвечающие им  $\psi$ -функции растут на одной или другой бесконечности.

Для ограниченного потенциала общего вида число чередующихся стабильных и нестабильных зон бесконечно. Решения уравнения Новикова характеризуются тем, что это число конечно, что и объясняет название.

# Интегрирование в квадратурах

В элементарных функциях уравнения Дубровина не решаются. Мы видели, что при  $n = 1$  ответ записывается неявно через неполный эллиптический интеграл, обращение которого — эллиптическая функция.

- При  $n = 2$  имеем ( $2E = e_1 + \dots + e_5$ )

$$\begin{cases} \frac{y_{1,x}}{\sqrt{P(y_1)}} = \frac{1}{y_1 - y_2}, \\ \frac{y_{2,x}}{\sqrt{P(y_2)}} = \frac{1}{y_2 - y_1}, \end{cases} \quad \begin{cases} \frac{y_{1,t}}{\sqrt{P(y_1)}} = \frac{E + y_2}{y_1 - y_2}, \\ \frac{y_{2,t}}{\sqrt{P(y_2)}} = \frac{E + y_1}{y_2 - y_1}. \end{cases}$$

Зафиксируем произвольную точку  $y_0$  и определим функции

$$F_k(y_1, y_2) = \int_{y_0}^{y_1} \omega_k + \int_{y_0}^{y_2} \omega_k, \quad k = 0, 1,$$

где  $\omega_k = \frac{y^k dy}{\sqrt{P(y)}}$  (абелевы дифференциалы).

Несложно проверить, что

$$F_{0,x} = 0, \quad F_{1,x} = 1, \quad F_{0,t} = 4, \quad F_{1,t} = 4E, \quad \Rightarrow$$

$$F_0(y_1, y_2) = 4t + \delta_0, \quad F_1(y_1, y_2) = x + 4Et + \delta_1$$

— это два дополнительных первых интеграла (неавтономных). Задача решена, в том смысле, что она сведена к разрешению этих уравнений относительно  $y_1, y_2$ .

- Для произвольного  $n$  имеем ( $E = e_1 + \dots + e_{2n+1}$ ,  $Y = y_1 + \dots + y_n$ )

$$\frac{y_{j,x}}{\sqrt{P(y_j)}} = \frac{1}{\prod_{s \neq j} (y_j - y_s)}, \quad \frac{y_{j,t}}{\sqrt{P(y_j)}} = \frac{E + Y - y_j}{\prod_{s \neq j} (y_j - y_s)}.$$

Определим

$$F_k(y_1, \dots, y_n) = \sum_{j=1}^n \int_{y_0}^{y_j} \omega_k, \quad k = 0, \dots, n-1.$$

Имеют место следующие алгебраические тождества:

$$\sum_{j=1}^n \frac{y_j^k}{\prod_{s \neq j} (y_j - y_s)} = \begin{cases} 0 & k = 0, \dots, n-2, \\ 1 & k = n-1, \\ \sum y_j & k = n. \end{cases} \quad (14)$$

Используя их, можно показать, что

$$F_{0,x} = \dots = F_{n-2,x} = 0, \quad F_{n-1,x} = 1,$$

$$F_{0,t} = \dots = F_{n-3,t} = 0, \quad F_{n-2,t} = 4, \quad F_{n-1,t} = 4E.$$

Опять, ответ в неявном виде получен, точнее, задача сведена к квадратурам и разрешению уравнений

$$F_0(y_1, \dots, y_n) = \delta_0, \quad \dots, \quad F_{n-1}(y_1, \dots, y_n) = x + 4Et + \delta_n,$$

относительно  $y_1, \dots, y_n$ .

- Осуществление этого последнего шага может быть сделано конструктивно, но это выходит за рамки нашего курса. Опишем лишь примерно, что происходит.

Так как  $\sqrt{P(y)}$  имеет точки ветвления, то значения интегралов  $F_k$  зависят от пути интегрирования, то есть, это многозначные функции. Правильно понимать их, как симметрические функции от  $n$  точек  $(y_j, \sqrt{P(y_j)})$  на римановой поверхности гиперэллиптической кривой

$$\Gamma : Y^2 = P(y).$$

На этой поверхности есть  $2n$  независимых циклов, при обходе вдоль которых значения интегралов от абелевых дифференциалов меняются на некоторые периоды. В результате, вектор  $(F_0, \dots, F_{n-1})$  лежит на  $2n$ -мерном торе, который называется многообразием Якоби гиперэллиптической кривой (обобщение параллелограмма периодов для эллиптических функций).

Преобразование  $(y_1, \dots, y_n) \rightarrow (F_0, \dots, F_{n-1})$  осуществляет отображение Абеля

$$\Gamma^n / S_n \rightarrow \mathbb{C}^{2n} / \Lambda,$$

где  $S_n$  — симметрическая группа,  $\Lambda$  — решетка периодов. Задача построения обратного отображения решается при помощи тета-функций на многообразии Якоби — они определяются рядами вида

$$\theta(z; B) = \sum_{m \in \mathbb{Z}^n} \exp(\pi i(m, Bm) + 2\pi i(z, m)), \quad z \in \mathbb{C}^n,$$

где  $B$  — некоторая матрица размера  $n \times n$ .

- Б.А. Дубровин. Тэта-функции и нелинейные уравнения. УМН 36:2 (1981) 11–80.
- Дж. Спрингер. Введение в теорию римановых поверхностей. М.: Мир, 1960.
- Д. Мамфорд. Лекции о тэта-функциях. М.: Мир, 1988.

## Домашнее задание

**5.1.** Проверьте, что если  $\psi, \phi$  удовлетворяют уравнениям

$$\psi_{xx} = (u - \lambda)\psi, \quad \psi_t = -a_x\psi + 2a\psi_x,$$

то  $Q = \psi\phi$  удовлетворяет (7). Чему при этом равно  $P$ ? Используйте это для обоснования того, что  $P$  не зависит от  $x$  и  $t$ , а также того, что многосолитонным решениям отвечает случай, когда  $P$  имеет кратные корни.

**5.2.** В условиях предыдущей задачи, проверьте, что

$$Q_t = 2(aQ_x - a_x Q),$$

что подтверждает уравнение (11).

**5.3.** Докажите (с учетом предыдущих задач) формулу (13).

**5.4.** Докажите тождества (14).